

УДК 004.415

*Л.И. Тимченко, Н.С. Петровский, Н.И. Кокряцкая, Л.В. Марченко*Государственный экономико-технологический университет транспорта, г. Киев
Украина, г. Киев, 49, 03049, ул. Н. Лукашевича

Метод классификации пятен лазерных пучков с применением параллельно-иерархических сетей на базе ПЛИС

*L.I. Timchenko, N.S. Petrovsky, N.I. Kokryatskaya, L.V. Marchenko*State Economic and Technological University of Transport, Kiev
Ukraine, Kiev, 49, 03049, st. N. Lukashevich

Classification Method of Laser Beam Spots Using a Parallel-Hierarchical Networks on FPGA

*Л.І. Тимченко, Н.С. Петровський, Н.І. Кокряцька, Л.В. Марченко*Державний економіко-технологічний університет транспорту, м. Київ
Україна, м. Київ, 49, 03049, вул. Н. Лукашевича

Метод класифікації плям лазерних пучків із застосуванням паралельно-ієрархічних мереж на базі ПЛІС

В статье рассматривается метод классификации пятен лазерных пучков и его реализация. Обсуждается необходимость фильтрации зашумленных изображений адаптивными методами, такими как параллельно-иерархические (ПИ) сети. Представленная реализация такой сети на базе ПЛИС.

Ключевые слова: ПИ сети, «грубая-точная» оценка, лазерный пучок.

In this paper the method of classification of spots of laser beams and its implementation. Discusses the need for filtering noisy images with adaptive methods, such as parallel-hierarchical (IP) network. Presented implementation of such a network on FPGA.

Keywords: PH network, «rough-accurate» estimate, laser beam.

У статті розглядається метод класифікації плям лазерних пучків і його реалізація. Обговорюється необхідність фільтрації зашумлених зображень адаптивними методами, такими як паралельно-ієрархічні (ПІ) мережі. Представлена реалізація такої мережі на базі ПЛІС.

Ключові слова: ПІ мережа, «груба-точна» оцінка, лазерний пучок.

Введение

Одним из направлений современных систем коммуникации, которые быстро развиваются, есть спутниковые и космические лазерные линии связи [1], [2].

Внимание к подобным системам вызвано двумя причинами:

1. Энергетическая эффективность – лазерным системам передачи необходимо значительно меньше энергии чем классическим радиосистемам, для передачи на то же расстояние, через малое расхождение луча.

2. Скорость – при такой же мощности лазерные системы позволяют передавать значительно больше информации. Что необходимо в дальнейших исследованиях солнечной системы.

Однако малое расхождение луча является также одним из основных технических сложностей в построении подобных систем. Поскольку в принимающее устройство необходимо попасть лучом с расстояния десятки – сотни тысяч километров, и при этом, передатчик постоянно движется. А значит, приемник должен отслеживать его положение.

Для таких устройств необходимо находить координаты спутника с высокой точностью. Однако, проходя сквозь атмосферу лазерное излучение, испытывает значительные препятствия. Если же энергетическое ослабление лазерного луча при распространении его в атмосфере приводит к ограничению дальности действия лазерных устройств коммуникации и навигации, то его влияние на структуру пучка и траекторию его распространения определяет в определенной степени параметры точности таких устройств. Световая волна, распространяющаяся в атмосфере, кроме энергетических потерь имеет флуктуации амплитуды и фазы. Эти флуктуации происходят благодаря случайно-временному распределению показателя преломления, которое, в свою очередь, обусловлено турбулентными движениями в атмосфере, влекущие случайное изменение температуры.

Турбулентность атмосферы вызывает искривление волнового фронта волны, которое приводит к расширению лазерного пучка, перераспределению энергии внутри пучка и изменения его «центра тяжести», а также к связанным с этими явлениями флуктуациями общей интенсивности [3], [4].

Конечно, измерения координат объектов происходит с помощью геометрических моментов [5-7], использование которых в задачах измерения координат энергетических центров лазерных изображений, которые деформированы атмосферой, приводит к существенной погрешности при измерении. Погрешность измерения координат энергетических центров лазерных изображений составляет до 10 пикселей. Поэтому актуальной становится задача классификации изображений протяженной лазерной трассы, в случае, когда на изображение действует много деформирующих факторов. При этом сохраняя паритет между скоростью вычислений и энергоэффективностью схемы.

1 Алгоритм прямого параллельно-иерархического преобразования

Обычно для коррекции энергетического «центра тяжести» используют хорошо проработанные методы, использующие фильтрацию и классификацию изображений, и не требуют сложных вычислений. К таким методам относится, разработан и реализован на ПЛИС авторами метод сечений [8]. Однако на больших расстояниях необходима адаптивная фильтрация, для чего можно использовать такой класс методов классификации, как нейронные сети.

Одним из направлений интерпретации работы нейронных сетей является представление его в виде возбуждений, одновременно распространяются, и в котором действие одной нейронной сети возбуждает соответствующий отклик в другой. Тогда восприятие времени и причинно-следственных связей, настолько сложны для программирования, закладываются в архитектуру таких нейронных систем, и такие сети называются параллельно-иерархическими (ПИ) [9].

Рассмотрим сетевой процесс прямого параллельно-иерархического преобразования [10]. Пусть есть S ($S = 1, 2, 3 \dots$) непустых множеств элементов, задающих информацию. Количество элементов множества назовем его длиной (обозначение

L_μ – длина множества μ). Количество разнообразных элементов множества назовем размерностью данного множества (обозначение R_μ).

Рассмотрим математическую модель параллельного разложения множества $\mu = \{a_i\}, i = \overline{1, n}$. По следующей модели:

$$\sum_{i=1}^n a_i = \sum_{j=1}^R \left(n - \sum_{k=0}^{j-1} n_k \right) (a^j - a^{j-1}), \quad (1)$$

где $a_i \neq 0$, R – размерность данного множества. Из одинаковых элементов сформируем подмножества, элементы одного подмножества обозначим через a^k , $k = \overline{1, R}$, n_k – количество элементов в k -м подмножестве (т.е. кратность числа a_k), a^l – произвольный элемент множества $\{a^k\}$, избранный на j -м шаге, $j = \overline{1, R}$, $a^0 = 0$, $n_0 = 0$.

Если в модели (1) осуществить замену знака \sum на объединение \cup , то результатом разложения множества μ является объединение элементов (множество разложения μ^1).

$$\mu = \bigcup_{i=1}^n a_i = \bigcup_{j=1}^R \left(n - \sum_{k=0}^{j-1} n_k \right) (a^j - a^{j-1}) \quad (2)$$

Преобразование множества μ в множество μ^1 , задаваемой моделью (2), назовем оператором преобразования G , т.е.

$$G(\mu) = \mu^1 \quad (3)$$

Если для выходных массивов S применим оператор преобразования G , который задается формулой (2), то для каждого массива получим свое порядковое разложение:

$$\mu_1^1 = \bigcup_{i=1}^{R_1^1} a_{1i}^i, \quad \mu_2^1 = \bigcup_{i=1}^{R_2^1} a_{2i}^i, \quad \dots, \quad \mu_s^1 = \bigcup_{i=1}^{R_s^1} a_{si}^i, \quad (4)$$

где μ_s^1 – множество под номером S на первом уровне, тогда для k -го уровня множество под номером 1 запишется соответственно μ_i^k , R_s^l – количество элементов во множестве на первом уровне, R_s^l – количество элементов в множестве S на l -м уровне, R_k^l – количество элементов в множестве S на k -м уровне. Объединим полученные элементы (4) в матрицу M_1 , назовем ее матрицей прямого разложения на первом уровне. Тогда она будет иметь вид:

$$M_1 = \begin{pmatrix} a_{11}^1 & a_{12}^1 & \dots & a_{1R_1^1}^1 X & \dots & X \\ a_{21}^1 & a_{22}^1 & \dots & \dots & \dots & a_{2R_2^1}^1 \\ \dots & \dots & \dots & \dots & \dots & \dots \\ a_{s1}^1 & a_{s2}^1 & \dots & a_{sR_s^1}^1 X & \dots & X \end{pmatrix}, \quad (5)$$

или

$$M_1 = \bigcup_{S=1}^S \left(\bigcup_{i=1}^{R_S^1} a_{si}^1 \right). \quad (6)$$

Для удобства записи вакантные места в матрицах будем заполнять значком «X». Не нарушая общности для наглядности, вторая строчка в (4) имеет максимальную длину. Очевидно, что такую длину может иметь любая строчка.

Матрицу M_1 перепишем, сгруппировав ее элементы не по строкам, а по колонкам и таким способом сформируем новую матрицу:

$$M_1^T = \bigcup_{i=1}^{R_S^1} \left(\bigcup_{S=1}^S a_{si}^1 \right). \quad (7)$$

т.е. матрицу M_1 – транспонирует. Обозначим через T оператор транспонирования матрицы, тогда

$$T(M_1) = M_1^T.$$

Начиная со второго уровня, образования матриц $M_2^T, M_3^T, \dots, M_k^T$ происходит не только с помощью транспонирования как в (7). Будем группировать элементы не по колонкам, а за диагоналями и полученные множества назовем диагональными. Обозначим оператором S – оператор сдвига строки на величину меньшую номера данной строки на единицу и исключение первого столбца матрицы M_2 в результате разложения.

Таким образом, $S(M_2) = M_2''$, в общем случае $S(M_j) = M_j''$, $j = \overline{1, k}$.

Последовательное применение трех операторов G, S, T назовем функционалом Φ , т.е.

$$\Phi \left[T \left(G \left(\bigcup_{S=1}^S \mu_S \right) \right) \right] = \bigcup_{t=2}^k a_{11}^t \quad (8)$$

μ_S начальные множества ($S=1, 2, 3, \dots$), a_{11}^t – элементы разложения начальных множеств, получаемые по одному на каждом уровне, начиная со второго.

Таким образом, сетевой метод прямого ПИ преобразования заключается в последовательном применении к исходным множествам $\bigcup_{S=1}^S \mu_S$ по одному разу операторов преобразования G и транспонирования T , а потом $(k-1)$ раз функционала Φ . На каждом уровне ПИ преобразования образуются по одному элементу a_{11}^k разложения S – выходных множеств, где a_{11}^k – исходная информация прямого ПИ преобразования. Этой информацией является диагональные множества с одной диагонального кратного общего элемента.

Для демонстрации модели рассмотрим числовой пример прямого ПИ преобразования с использованием, например преобразования G , информация которой задана в виде числовых множеств μ_1, μ_2, μ_3 :

$$\mu_1 = \begin{pmatrix} 2 \\ 3 \\ 5 \\ 7 \end{pmatrix} \quad \mu_2 = \begin{pmatrix} 1 \\ 4 \\ 9 \\ 10 \end{pmatrix} \quad \mu_3 = \begin{pmatrix} 3 \\ 15 \\ 20 \end{pmatrix}$$

Применяя модель вида (2), получим:

$$G(\mu_1) = (8 \ 3 \ 4 \ 2)$$

$$G(\mu_2) = (4 \ 9 \ 10 \ 1)$$

$$G(\mu_3) = (9 \ 24 \ 5)$$

Из полученных результатов построим матрицы:

$$M_4 = \begin{pmatrix} 2 & 2 & X & X \\ X & 12 & 16 & X \\ X & X & 4 & 11 \\ X & X & X & 4 \end{pmatrix} \Rightarrow a_{11}^3 = 2$$

$$M_5 = \begin{pmatrix} 4 & 10 & X & X \\ X & 8 & 12 & X \\ X & X & 8 & 7 \end{pmatrix} \Rightarrow a_{11}^4 = 4$$

$$M_6 = \begin{pmatrix} 16 & 2 & X \\ X & 16 & 4 \\ X & X & 7 \end{pmatrix} \Rightarrow a_{11}^5 = 16$$

$$M_7 = \begin{pmatrix} 4 & 14 & X \\ X & 8 & 3 \end{pmatrix} \Rightarrow a_{11}^6 = 4$$

$$M_8 = \begin{pmatrix} 16 & 6 \\ X & 3 \end{pmatrix} \Rightarrow a_{11}^7 = 16$$

$$M_9 = (6 \ 3) \Rightarrow a_{11}^8 = 6$$

$$M_{10} = (3) \Rightarrow a_{11}^9 = 3$$

Результат прямого ПИ преобразования:

$$\Phi_{i=2}^{10} \left[T \left(G \left(\bigcup_{i=1}^3 \mu_i \right) \right) \right] = (12, 16, 2, 4, 16, 4, 16, 6, 3). \quad \sum_{i=1}^{10} \mu_i = 79.$$

Учитывая вычислительную сложность алгоритма прямого ПИ преобразования с позиции схемотехники, можно сделать вывод, что наиболее трудоемкой является операция G преобразования, операции же S и T по своей сути являются операциями с памятью, а значит требуют менее сложных аппаратных средств.

2 Разработка метода «грубой-точной оценки» пятен лазерных пучков с использованием метода прямого параллельно-иерархического преобразования

Для решения поставленной задачи можно использовать двухэтапный алгоритм классификации пятен лазерных пучков, на первом этапе которого находятся координаты изображения и проводится сегментация изображений пятен лазерных пучков, например на базе параллельной схемы предложенного авторами метода сечений [8].

Изображения лазерных пятен имеют перепад яркости, при переходе к изображению лазерного пятна, что отчетливо видно на гистограмме рис. 1.

В левой половине гистограммы находятся шумы, которые не несут важной информации для ПИ преобразования. А значит, сегментация может быть проведена пороговым фильтром с двойной границей [11], по следующей формуле:

$$\begin{cases} w(f(x, y)) = 0, & w(f(x, y)) \leq W_{0,5} \\ w(f(x, y)) = w(f(x, y)) - W_{0,5}, & W_{0,5} < w(f(x, y)) < W_{0,75} \\ w(f(x, y)) = 0, & w(f(x, y)) \geq W_{0,75} \\ W_{0,75} = W_{\max} \cdot 0,75 & i \quad W_{0,5} = 0,5 \cdot W_{\max} \end{cases} \quad (9)$$

где $w(f(x, y))$ – значение яркости точки, W_{\max} – максимальная яркость изображения.

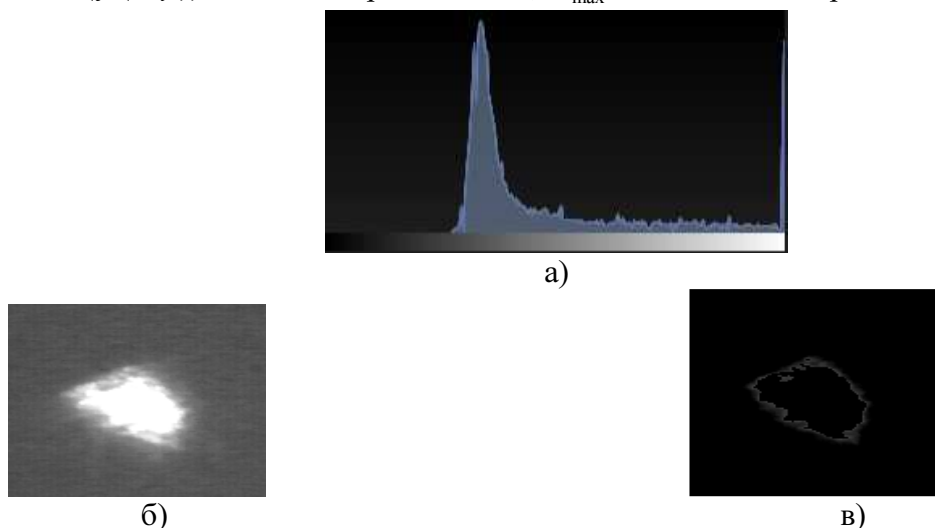


Рисунок 1 – Гистограмма яркостей (а) пятна лазерного пучка (б) и пятно лазерного пучка после сегментации (в)

На втором же этапе проводится корреляционная оценка хвостовых элементов изображения по методу прямого параллельно-иерархического преобразования.

Таким образом, общий алгоритм высокоточной классификации пятен лазерных пучков выглядит следующим образом:

1. Находим координаты изображения и проводим сегментацию.
2. Находим хвостовые элементы для сохранённого изображения методом прямого ПИ преобразования.
3. Формируем эталонное изображение – среднее значение хвостовых элементов первых 20 изображений.
4. Вычисляем коэффициент корреляции между хвостовыми элементами эталонного изображения и текущим изображением.
5. Если коэффициент корреляции выше 0,9 то изображение «хорошее».
6. Повторяем пункт 4 – 6 для каждого следующего изображения.

Для создания схемы обработки изображений проводилось моделирование алгоритма на компьютере на реальных снимках лазерных трасс, с целью выявления характеристик изображений важных для создания схемы.

Как следствие, моделирование прямого ПИ преобразования показало, что максимальное количество строк исходной матрицы при преобразовании не превышает 120, а максимальное число не превышает 210.

Таким образом, можно задаться такими начальными параметрами для создания схемы ПИ преобразования. Будем использовать 16 разрядные слова. Поскольку исходное изображение имеет размер 128×128 , то и максимальное количество строк для G преобразования, тоже составляет 128.

3 Разработка схемы устройства классификации пятен лазерных пучков метода «грубо-точной» оценки пятен лазерных пучков с использованием метода прямого параллельно-иерархического преобразования

Согласно требованиям, изложенным в предыдущем пункте общая блок схема разработанного устройства представлена на рис. 2. Моделирование проводилось с использованием программы Quartus II компании Altera.

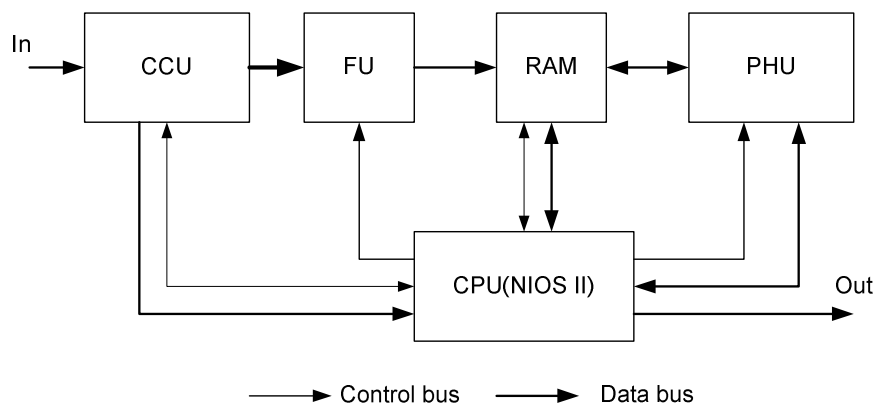


Рисунок 2 – Блок схема устройства классификации пятен лазерных пучков на базе прямого ПИ преобразования

Устройство работает следующим образом:

Данные с камеры подаются на вход ССU – coordinate calculation unit – что находит координаты энергетического центра, а также значение $W_{0.5}$ и $W_{0.75}$, выведенные наружу блока для дальнейшей обработки в пороговом фильтре – FU (filter unit). Данные после фильтра попадают в запоминающееся устройство RAM. И далее попадают в блок параллельно- иерархического преобразования PHU. На выходе этого блока формируются данные G преобразования.

Управляет всем процессом встроенный контролер CPU (типа NIOS II), он же и отвечает за внешнюю коммуникацию (Out).

Блок параллельно-иерархического преобразования (PHU), представленный на рис. 3. Описание выводов схемы представлен в табл. 1.

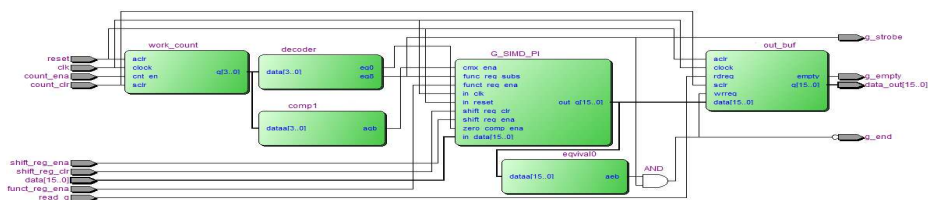


Рис.3 Блок параллельно-иерархического преобразования

Таблица 1 – Выводы блока параллельно- иерархического преобразования

Шина	Тип	Описание
reset	Вход	Общее скидывание схемы
clk	Вход	Вход тактовой частоты
count_ena	Вход	Вход разрешения работы счётчика
count_clr	Вход	Сброс счётчика
shift_reg_ena	Вход	Вход разрешения работы регистра сдвига
shift_reg_clr	Вход	Очистка регистра сдвига
funct_reg_ena	Вход	Строб функционального регистра.
data [16]	Вход	Шина ввода данных
read_g	Вход	Строб считывания с входного буфера
read_g	Выход	Выход данных (g функции)
g_strobe	Выход	Выход индикации обработки одного члена ряда
g_empty	Выход	Выход индикации полностью очищенного буфера
g_end	Выход	Выход индикации окончания g преобразования

В этот блок введен регистра сдвига (находится в блоке G_SIMD_PI), что позволяет делать последовательный ввод данных, а также устройство управления (конечный автомат) на базе счетчика work_count и декодера (decoder). Итак, схема работает следующим образом.

На первом этапе, после общего сброса схемы, ее приводят в исходное состояние представлению «1» в течение одного такта на вход shift_reg_clr. Далее подают «1» на вход shift_reg_ena и через шину данных data загружают последовательно данные в регистр сдвига.

Далее подают «1» в течение одного такта вход funct_reg_ena, в результате чего данные из регистра сдвига поступают на вход функционально-запоминающих элементов рис 4:

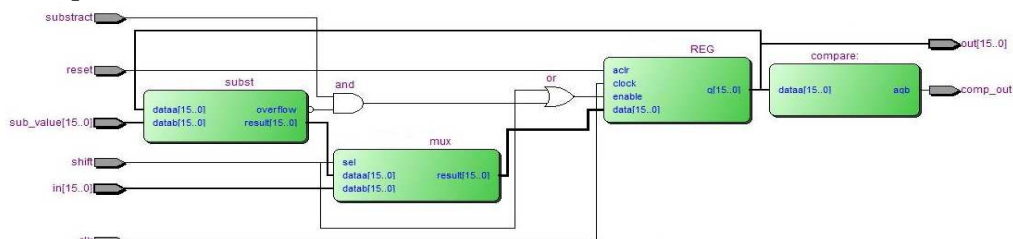


Рисунок 4 – Функционально-запоминающий элемент

Функционально-запоминающий элемент состоит из следующих блоков: входного мультиплексора – mux; регистра хранения – REG, блока вычитания – subst, и выходного компаратора compare.

Таблица 2 – Описание выводов функционально-запоминающего элемента

Название вывода	Направление	Описание
reset	Вход	Начальный сброс
substruct	Вход	Команда проведения вычитания.
shift	Вход	Команда переноса данных с входа к регистру
clk	Вход	Тактовая частота
in	Вход	Входная шина данных
out	Выход	Выходная шина данных
Sub_value	Вход	Число, которое вычитается
comp_out	Выход	Выход компаратора

Функционально-запоминающий элемент может работать в двух режимах: загрузка данных, при этом на вход `shift` подается «1». Или вычитания, когда от числа, которое находится в регистре `REG`, вычитается число, подаваемого на вход `Sub_value`, для чего подают «1» на вход `subtract`. При этом результат операции сохраняется в том же регистре `REG`. На выходе же `comp_out` компаратора – «1» появляется только тогда, когда в регистре `REG` число больше «0». Временная диаграмма работы данного элемента представлена на рис. 5.

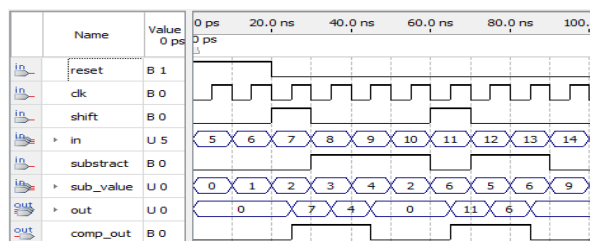


Рисунок 5 – Диаграмма работы функционально-запоминающего элемента

На втором этапе подается единица в течение одного такта на вход `count_clr` счетчика `work_count`, что приводит счетчик в исходное состояние, а затем его вход `count_ena` подают «1», и он начинает через декодер (`decoder`) подавать команды на блок `G_SIMD_PI`, в результате чего данные проходят по двоичному дереву [12], элементарные блоки которого представлены на рис. 6, а функции входов в табл. 4.

$$n = L - 1. \quad (10)$$

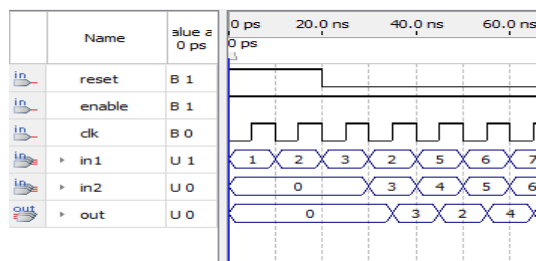


Рисунок 6 – Диаграмма работы схемы двоичного поиска

В процессе прохождения по двоичному дереву находится минимальное число, и на 8 такте это число, умноженное на количество не нулевых элементов строки, появляется на выходе блока `G_SIMD_PI`, то есть первый член G преобразования. Одновременно с этим на выходе `g_strobe` появляется «1», сигнализируя о том, что найдено член G преобразования, и позволяет контроллеру забрать его из буфера, не дожидаясь окончания всего преобразования. На 9 же такте это число заносится в буфер `out_buf`.

Далее счетчик начинает считать сначала, и через каждые 9 тактов в буфер заносится новый член G преобразования, так продолжается до тех пор, пока входная строка не станет равна нулю, и на выходе `g_end` появляется единица, сигнализируя о том, что преобразование закончено.

На третьем этапе контроллер подает «1» на вход `read_g`, и может считывать данные из буфера на выходе `read_g`, по окончании чтения, на выходе `g_empty` появляется «1».

Очевидно, что каждая следующая строки данных, работа всех этапов независимая, а следовательно, не дожидаясь окончания первого G преобразования, можно загрузить в регистр сдвига данные следующей строки, и также одновременно из G преобразованием возможно забирать данные из выходного буфера.

Таким образом, время работы данной схемы в тактах (для наихудшего случая) составляет:

$$T = L(\log_2 L + 2). \quad (11)$$

Моделирование на базе чипа Cyclone IV (EP4CE22F17C6) показало следующие данные, необходимы для РНИ:

Total logic elements 11,678 / 22,320 (52 %)
 Total memory bits 2,048 / 608,256 (< 1 %)
 Embedded Multiplier 9-bit elements 2 / 132 (2 %)
 Fmax-124.32 MHz

Быстродействие же полной схемы при обработке реальных изображений пятен лазерных пучков составила основной рабочей частоте 100 МГц) составила :

Средняя – 6 мс/кадр

Максимальное время обработки кадра – 20 мс/кадр.

Средняя погрешность вычисления координат – 0.47.

Итак, разработана схема позволяет проводить одновременные последовательные загрузки и чтения данных.

– Операция G преобразование происходит самостоятельно, и не требует постоянного участия контроллера, разгружает его для других операций.

– Разработанная схема удовлетворяет начальным требованиям и имеет запас как по разрядности, так и возможности ее наращивания.

4. Моделирование метода «грубой-точной оценки» пятен лазерных пучков с использованием прямого параллельно-иерархического преобразования

С целью проверки разработанных алгоритмов и моделей был создан макет устройства обработки пятен лазерных пучков, представленный на рис. 7.

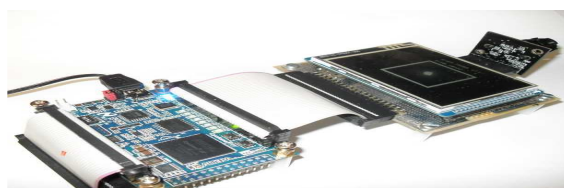


Рисунок 7 – Макет устройства обработки пятен лазерных пучков

Для создания макета были использованы следующие компоненты:

– плата разработчика DE0-Nano на базе ПЛИС типа Altera Cyclone ® IV EP4CE22F17C6N;

– CMOS камера 640 * 480 на базе чипа OV7660;

– дисплей TFT 320 * 240 точек на базе контроллера SPFD5408;

– лазерный диод с длиной волны 532 нм (зеленого цвета).

Поскольку ПЛИС имеет значительно меньшее энергопотребление в сравнении с обычным компьютером, то было проведено несколько тестов по потреблению мощности по сравнению с персональным компьютером (на базе процессору AMD Athlon X4 640). Результаты сравнения представлены в табл. 5.

Таблица 5 – Сравнительная характеристика затрат мощности при обработке пятен лазерных пучков с помощью параллельно-иерархических сетей

Платформа	Средняя скорость вычисления, мс	Средняя мощность, Вт	Производительность кадров /вт
Персональный компьютер (AMD Athlon X4 640)	90	36	0,31
EP4CE22F17C6N	7	2,5	57

Таким образом, с физического моделирования (табл. 5) можно сделать вывод, что центральный процессор обычного персонального компьютера не может быть использован для обработки в реальном времени, поскольку среднее время обработки более чем в два раза превышает время поступления кадров (для камеры со скоростью 25 кадров/с, соответственно время обработки одного кадра не может превышать 40 мс).

К тому же процессор имеет достаточно большую потребляемую мощность по сравнению с ПЛИС (14,4 раз).

Для систем передачи данных с помощью лазерного луча важно знать не только точное местонахождение передатчика в данный момент времени, но и уметь прогнозировать его положение в следующий момент времени.

С целью проверки качества классификации разработанного алгоритма было проведено моделирование по обработке полученных координат некоторыми методами прогнозирования на реальных изображениях бань трасс, предоставленных ЗАО «КИА Системы» (г. Москва, Россия).

В табл. 6 представлены данные о средней погрешности прогнозирования некоторых методов прогнозирования для предварительной обработки по методу сечений и методами «грубой-точной» оценки координат пятен лазерных пучков с использованием метода прямого параллельно-иерархического преобразования ($\delta x_{\text{ср}}$ – средняя относительная погрешность метода, рассчитывалась между действительным и прогнозируемым значением). Данные алгоритмы были промоделированы в программе STATISTICA 6.0. Как видно из таблицы, для одних и тех же методов, «грубой-точной» оценки координат пятен лазерных пучков с использованием метода прямого параллельно-иерархического преобразования на 15 – 20% лучше, чем отдельно метод сечений.

Таблица 6 – Сравнительный анализ некоторых методов прогнозирования для различных видов предварительной обработки данных

Метод прогнозирования		
Название метода	Метод сечений $\delta x_{\text{ср}}$, %	Метод «грубой-точной» оценки, $\delta x_{\text{ср}}$, %
Числовые методы [13]		
1. Экспоненциальное сглаживание, аддитивная модель	0.18	0.15
2. Экспоненциальное сглаживание, модель Винтера (мультипликативная модель)	0.185	0.14
3. Авторегрессионная модель [14]	0.09	0.077
Нейронные сети		
4. Радиально-базисная функция РБФ S5 [16]	0,12%	0,085
5. Линейная сеть S5 [17]	0,114	0,076
6. Многослойный персептрон МР5-2-1 с одним сокровенным слоем	0,11%	0,077%

Выводы

В статье рассмотрена проблема прохождения лазерного излучения в атмосфере для атмосферно-оптических линий связи. Установлено, что для обеспечения позиционирования приемо-передающих устройств необходимо классифицировать изображения, с целью выделения не зашумленных изображений.

Для выполнения этой задачи с высокой точностью предложено использовать метод прямого параллельно-иерархического преобразования, который имеет адаптивные свойства, похожие на нейронные сети. С целью ускорения операций по обработке пятен лазерных пучков был создан комбинированный метод «грубо-точной» оценки лазерных пучков с использованием метода прямого параллельно-иерархического преобразования и его реализацию на ПЛИС. Также создан макет для его проверки. На основе исследований установлено, что:

1. Установлено, что ПЛИС, за счет распараллеливания процессов, имеет значительный выигрыш по сравнению с ПК как по быстродействию, так и по экономии энергии.

2. Отмечено, что разработанный метод имеет погрешность прогнозирования на 15 – 20 % меньше по сравнению с методом сечений.

Кроме этого, стоит отметить, что разработанные методы можно использовать в лазерной локации и лазерном сканировании.

Список литературы

1. Joshua Buck. NASA Laser Communication System Sets Record with Data Transmissions to and from Moon / Joshua Buck, Dewayne Washington [Электронный ресурс]. – Режим доступа : http://www.nasa.gov/mission_pages/ladee
2. <http://www.federspace.ru/19038/>
3. Borovoy A.G. Laser beam propagation through the turbulent atmosphere with precipitation / A.G. Borovoy, G.Ya. Patrushev, A. I. Petrov // Applied Optics. – 1988. – Vol. 27, Issue 17. – P. 3704-3714
4. Hugo Weichel, Laser Beam Propagation in the Atmosphere, SPIE, Vo.: TT03, 1990., p-108.
5. Medina-Carnicer R., Muñoz-Salinas, R. Yeguas-Bolivar, E. Diaz-Mas, L. A novel method to look for the hysteresis thresholds for the Canny edge detector, Pattern Recognition, 44 (6), pp. 1201-1211 (2011).
6. A novel histogram transformation to improve the performance of thresholding methods in edge detection / Rafael Medina Carnicer, Rafael Muñoz-Salinas, Ángel Carmona Poyato, Francisco José Madrid-Cuevas // Pattern Recognition Letters. – 2011. – 32 (5). – P. 676-693.
7. Automatic generation of consensus ground truth for the comparison of edge detection techniques / Nicolás Luis Fernández García, Ángel Carmona Poyato, Rafael Medina Carnicer, Francisco José Madrid-Cuevas // Image Vision Comput. – 2008. – № 26 (4). – P. 496-511.
8. A new sectioning method for classification of optical objects based on PLD / M. Petrovski, L. Tymchenko, N. Kokryatskaya, V. Gubernatorov, Y. Kutaev // Journal of Computer Vision and Image Processing. – 2012. – Vol. 2, № 1. – P. 33-51.
9. Timchenko L.I. A multistage parallel-hierarchical network as a model of a neuro like computations scheme / L.I. Timchenko // Cybernetics and Systems Analysis. – 2000. – 36, № 2. – P. 251-267.
10. The Q-transformation method applying to the facial images normalization / V.P. Kozhemyako, Y.F. Kutaev, L.I. Timchenko, S.V. Chepornyuk, R.R. Hamdi, A.A. Gertsy, I.D. Ivasyuk // Proc. International ICSC/IFAC Symposium on NEURAL COMPUTATION-NC'98. – Vienna, 1998. – P. 287-291.
11. William K. Pratt, Introduction to Digital Image Processing / William K. – CRC Press, 2013. – 708p.
12. Paolo Giudici. Applied data mining: statistical methods for business and industry / Paolo Giudici. – John Wiley and Sons, 2003. – P. 111-117.
13. Brockwell and P.J. Introduction to Time Series and Forecasting, second edition / P.J. Brockwell and R.A. Davis. – Springer-Verlag, New York., 2002,
14. Box George. Time series analysis: forecasting and control / Box George, Jenkins Gwilym. – rev. 3 Prentice Hall PTR Upper Saddle River, NJ, USA, 1994. – 592 p.
15. Haykin S., Neural Networks / Haykin S. – [2nd ed.]. – New Jersey: Prentice Hall, 1999. – 1104 p.

Статья поступила в редакцию 02.04.2014.